

САНКТ-ПЕТЕРБУРГСКИЙ ГОСУДАРСТВЕННЫЙ УНИВЕРСИТЕТ
Кафедра МЕХАНИКИ УПРАВЛЯЕМОГО ДВИЖЕНИЯ

Левдик Вероника Владимировна

Выпускная квалификационная работа
бакалавра

Оптимальное по смешанному
критерию гашение малых колебаний
космического аппарата

Направление 010400

Прикладная математика и информатика

Научный руководитель,
кандидат физ.-мат. наук,
доцент
Потоцкая И. Ю.

Санкт-Петербург
2018

Содержание

Введение	3
Цель работы	5
Обзор литературы	6
§1. Постановка задачи гашения малых колебаний КА . . .	8
1. Вращательное движение в однородном поле тяжести	8
2. Описание математической модели	9
3. Постановка задачи гашения колебаний	10
§2. Алгоритм построения оптимального управления	12
§3. Программная реализация	22
1. Особенности программной реализации	22
2. Результаты программной реализации	26
Выводы	33
Список литературы	34
Приложение	36

Введение

Данная работа посвящена вопросу об управлении движением механической системы и о способах оптимизации управления. В настоящее время актуальность задач оптимизации объясняется развитием технологий в современном мире и, соответственно, увеличением масштаба автоматизации. На практике возникает все больше и больше задач, требующих оптимизации движения, то есть достижения каких-либо целевых состояний системы при соблюдении различных наложенных ограничений. Подобные задачи возникают в областях науки, таких как математика, физика, химия, экономика, экология, биология и т. д. Одним из основных аспектов формализации задач является корректное описание математических моделей. Любое исследование зачастую начинается с построения упрощенных моделей, позволяющих описать и воспроизвести поведение системы в целом, либо, наоборот, каких-то её локализованных частей. Для каждой практической задачи существуют влияющие факторы, которые нужно учитывать при построении усложненных и более конкретизированных математических моделей на основе уже изученных.

Одной из основных развивающихся научных и промышленных отраслей сегодня является космическая динамика. В этой области автоматизированное управление значительно преобладает над ручным управлением ввиду сложности, а иногда невозможности, поддержания связи человека с космическим аппаратом. В связи с этим аналитическое изучение соответствующих математических моделей является главным инструментом для решения возникающих задач.

В представленной работе рассматривается задача гашения малых колебаний спутника, которые значительно снижают качество работы космического аппарата (далее — КА). Управление спутниками осуществляется с помощью реактивных двигателей, которые работают на дорогостоящем топливе, что влечет за собой вопрос о минимизации затрат. Новизна исследования состоит в том, что производится построение оптимального управления, которое обуславливает быстроедействие и минимизацию расхода топлива одновременно. Нужно отметить, что решение указанной задачи

по смешанному критерию не дает и не может давать результатов относительно каждого критерия, рассматриваемого в отдельности, лучших, чем если бы эти критерии рассматривались автономно. Суть работы состоит в том, чтобы построить наиболее удовлетворяющее реальным практическим запросам управление, которое позволит улучшить качество работы космического аппарата.

Цель работы

Одним из аспектов, отвечающий за качество функционирования КА на орбите, является его положение в состоянии относительного равновесия. На практике движение КА может сопровождаться возмущениями различного вида, которые могут пагубно влиять на качество функционирования аппарата и выводить его из состояния стационарного вращения. В настоящей работе ставится задача построения оптимального управления механической системой с целью гашения малых колебаний. Движение системы смоделировано с помощью задачи Лагранжа, которая описывается системой линейных обыкновенных дифференциальных уравнений с постоянными коэффициентами. Предполагается, что управление осуществляется с помощью реактивных двигателей. Критерием оптимальности является одновременное уменьшение количества расходуемого топлива и продолжительности действия управления.

Цель работы:

- вывести аналитический алгоритм для описания функции оптимального управления, обеспечивающего гашение малых колебаний КА;
- осуществить программную реализацию найденного алгоритма и получить графики, демонстрирующие корректную работу метода;
- на основе численной реализации произвести анализ результатов, построить графики, отображающие зависимость частей функционала качества от характерного параметра.

Обзор литературы

При написании данной работы были использованы научная и учебно-методическая литература конца XX – начала XXI века. Основные аспекты теории оптимального управления приведены в многочисленных источниках. В частности, в работе Мейера А. [1], систематически изложены методы математического моделирования динамических систем и способы их управления, основы теории оптимальных систем, методы анализа устойчивости. Также в источнике [1] демонстрируются классические начала вариационного исчисления, принцип Максимума Понтрягина и метод динамического программирования Беллмана. Одним из фундаментальных примеров научной литературы, посвященной теории управления является книга американских ученых Атанса М. и Фалба П. [2], в которой изложены методы проектирования систем, оптимальных по отношению к различным критериям качества. Другими примерами источников по указанной тематике являются [3]–[7].

Во второй половине XX века ученые пришли к выводу, что изучение задач с критерием оптимальности по расходу топлива вызывает большие трудности в теоретическом и практическом аспектах, в связи с чем акцент рассмотрения подобных задач перешёл на задачи с квадратичными функционалами. Изучение задач с негладким функционалом возобновилось, например, в работе Бабаджанянца Л. К., Потоцкой И. Ю. [8]. В указанном источнике описывается метод оптимизации по расходу топлива для задач управления линейной системой с кусочно-постоянным видом функции управления.

За основу настоящей работы взята статья [9], где описывается метод построения оптимального управления по смешанному критерию. С помощью указанного метода в данной работе составлен алгоритм для аналитического построения оптимального управления в задаче Лагранжа на примере вращательного движения спутника вокруг неподвижной точки в однородном поле тяжести. Теоретический материал для создания математической модели взят из работ [10]–[13].

Программная реализация полученного метода осуществлена с помо-

щью языка программирования Python, теоретические основы и особенности которого широко описаны в работе Лутца М. [14]. В программе использованы численные методы Брента Р. [15].

§1. Постановка задачи оптимального управления КА

1. Вращательное движение в однородном поле тяжести

Пусть твердое тело (космическая станция) совершает вращательное движение в гравитационном поле. Механика данного процесса подробно изложена в [12]. Приведём основные выкладки, необходимые для описания модели.

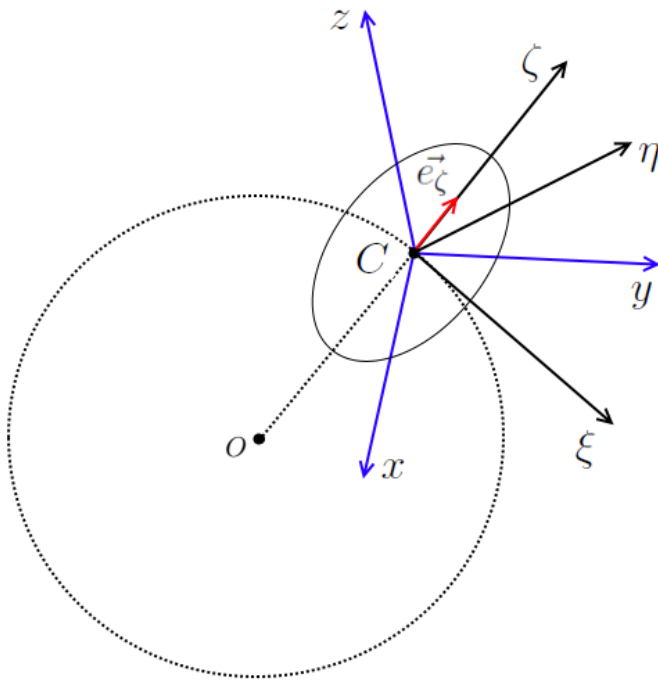


Рис. 1: Движение спутника

Движение происходит вокруг неподвижной точки O под действием силы тяжести (Рис. 1). $\vec{F}_T = m\vec{g}$, $m = const$ — масса тела, \vec{g} — гравитационная постоянная, \vec{r}_c — радиус-вектор центра масс C относительно указанной неподвижной точки. Рассмотрим две системы координат с началом в точке C : движущуюся поступательно вместе с центром масс систему (ξ, η, ζ) и жестко связанную с телом (связную) систему (x, y, z) , оси которой совпадают с главными центральными осями инерции тела. \vec{e}_ζ — орт оси $O\zeta$, а его направляющие косинусы в связанной системе координат — (α, β, γ) . Тензор инерции J в главных осях инерции диагонален: $J = \begin{pmatrix} J_x & 0 & 0 \\ 0 & J_y & 0 \\ 0 & 0 & J_z \end{pmatrix}$. Момент импульса $\vec{L} = J\vec{\omega}$, где $\vec{\omega} = (\omega_x, \omega_y, \omega_z)$ — угловая скорость вращения твердого тела около точки C в связанной системе координат, $C = (x_c, y_c, z_c)$. В указанных обозначениях запишем *динамические уравнения Эйлера* и *урав-*

падают с главными центральными осями инерции тела. \vec{e}_ζ — орт оси $O\zeta$, а его направляющие косинусы в связанной системе координат — (α, β, γ) . Тензор инерции J в главных осях инерции диагонален: $J = \begin{pmatrix} J_x & 0 & 0 \\ 0 & J_y & 0 \\ 0 & 0 & J_z \end{pmatrix}$. Момент импульса $\vec{L} = J\vec{\omega}$, где $\vec{\omega} = (\omega_x, \omega_y, \omega_z)$ — угловая скорость вращения твердого тела около точки C в связанной системе координат, $C = (x_c, y_c, z_c)$. В указанных обозначениях запишем *динамические уравнения Эйлера* и *урав-*

падают с главными центральными осями инерции тела. \vec{e}_ζ — орт оси $O\zeta$, а его направляющие косинусы в связанной системе координат — (α, β, γ) . Тензор инерции J в главных осях инерции диагонален: $J = \begin{pmatrix} J_x & 0 & 0 \\ 0 & J_y & 0 \\ 0 & 0 & J_z \end{pmatrix}$. Момент импульса $\vec{L} = J\vec{\omega}$, где $\vec{\omega} = (\omega_x, \omega_y, \omega_z)$ — угловая скорость вращения твердого тела около точки C в связанной системе координат, $C = (x_c, y_c, z_c)$. В указанных обозначениях запишем *динамические уравнения Эйлера* и *урав-*

падают с главными центральными осями инерции тела. \vec{e}_ζ — орт оси $O\zeta$, а его направляющие косинусы в связанной системе координат — (α, β, γ) . Тензор инерции J в главных осях инерции диагонален: $J = \begin{pmatrix} J_x & 0 & 0 \\ 0 & J_y & 0 \\ 0 & 0 & J_z \end{pmatrix}$. Момент импульса $\vec{L} = J\vec{\omega}$, где $\vec{\omega} = (\omega_x, \omega_y, \omega_z)$ — угловая скорость вращения твердого тела около точки C в связанной системе координат, $C = (x_c, y_c, z_c)$. В указанных обозначениях запишем *динамические уравнения Эйлера* и *урав-*

нения Пуассона, описанные в [12]:

$$\begin{cases} J_x \dot{\omega}_x + (J_z - J_y) \omega_z \omega_y = mg(\beta z_c - \gamma y_c), \\ J_y \dot{\omega}_y + (J_x - J_z) \omega_x \omega_z = mg(\gamma x_c - \alpha z_c), \\ J_z \dot{\omega}_z + (J_y - J_x) \omega_x \omega_y = mg(\alpha y_c - \beta x_c). \end{cases} \quad (1)$$

$$\begin{cases} \dot{\alpha} = \beta \omega_z - \gamma \omega_y, \\ \dot{\beta} = \gamma \omega_x - \alpha \omega_z, \\ \dot{\gamma} = \alpha \omega_y - \beta \omega_x. \end{cases} \quad (2)$$

Известно 3 интеграла системы (1), (2) и доказано, что если найти четвертый интеграл, то задача может быть решена в конечном виде.

Теорема Ковалевской. *Четвертый алгебраический интеграл системы (1), (2) существует только в следующих случаях:*

- *Случай Эйлера.* $x_c = 0, y_c = 0, z_c = 0$;
- *Случай Лагранжа.* $J_x = J_z, x_c = 0, z_c = 0$;
- *Случай Ковалевской.* $J_x = J_y = 2J_z, z_c = 0$.

2. Описание математической модели

Для приведения возмущенного движения в состояние стационарного вращения применяется управление с помощью реактивных двигателей. В [10] описано построение математической модели, которое вкратце приведено ниже.

Рассмотрим случай Лагранжа и положим $J_x = J_z = J$. Доказано, что имеется устойчивость по Ляпунову при $J_y > J$, т. е. это условие необходимо для обеспечения устойчивости стационарного вращения. Уравнения Эйлера вращения спутника около центра масс имеют вид (1). Полагая, что гравитационные моменты значительно малы по сравнению с управляющи-

ми моментами, перепишем уравнения Эйлера в следующем виде:

$$\begin{cases} \dot{\omega}_x = \mu \omega_z + u_1, \\ \dot{\omega}_z = -\mu \omega_x + u_2, \\ \dot{\omega}_y = u_3. \end{cases} \quad (3)$$

Здесь $\mu = \frac{\omega_y(J_y - J)}{J} = \text{const} > 0$, управления u_1 и u_2 равны отношению соответствующего реактивного момента к моменту инерции J , u_3 — отношение реактивного момента относительно оси O_y к J_y . Полагается, что $u_3 = 0$. Обозначив $x_1 = \omega_x$, $x_2 = \omega_z$, получим:

$$\begin{cases} \dot{x}_1 = \mu x_2 + u_1, \\ \dot{x}_2 = -\mu x_1 + u_2. \end{cases} \quad (4)$$

3. Постановка задачи гашения колебаний

Согласно предыдущему пункту, движение КА описывается системой из двух линейных дифференциальных уравнений первого порядка:

$$\dot{x} = Ax + U, \quad (5)$$

$U(t) \in \mathbf{R}^2$, $x(t) \in \mathbf{R}^2$, $U = (u_1, u_2)^T$ — вектор-функция управления, $x = (x_1, x_2)^T$ — вектор фазовых переменных, $A = \begin{pmatrix} 0 & \mu \\ -\mu & 0 \end{pmatrix}$. Можно заметить, что собственными числами матрицы A являются чисто мнимые значения $\pm i\mu$. Это говорит о том, что без воздействия управления система совершает периодические, малые (невозрастающие) колебания частоты μ , гашение которых является целью работы управления. Кроме того, пусть заданы начальные условия:

$$x(0) = x_0. \quad (6)$$

По окончании работы двигателей вращение спутника должно стабилизироваться, т.е. фазовые переменные должны обнулиться, следовательно, задача гашения колебаний системы равносильна граничному условию

$$x(T) = 0. \quad (7)$$

Здесь T — *незаданный* момент окончания действия двигателей.

Управление представляется в виде кусочно-постоянной функции следующим образом (Рис. 2):

$$u_k = h_k \sum_{i=1}^{2r_k} (-1)^{i+1} H(t - t_i^k) + h_k \sum_{i=1}^{2q_k} (-1)^i H(t - \tilde{t}_i^k), \quad k = 1, 2, \quad (8)$$

где $H(t)$ — функция Хевисайда единичного скачка. Каждый компонент управления состоит из чередующихся r_k положительных и q_k отрицательных ступеней высоты h_k . Указанные параметры считаются заданными.

Здесь t_i^k, \tilde{t}_i^k — моменты переключения верхних и нижних ступеней соответственно. Предполагается, что каждый компонент управления начитается с верхней ступени и заканчивается нижней и их количество одинаково.

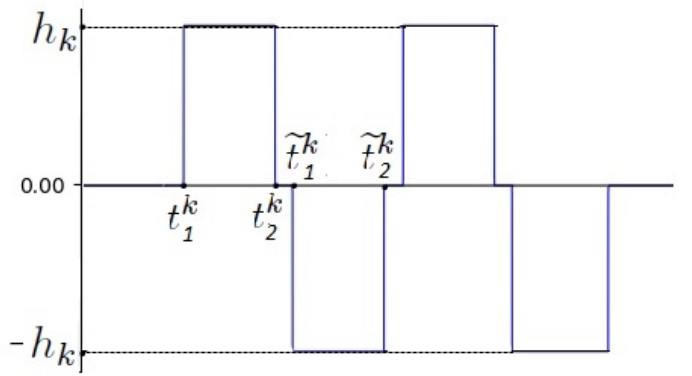


Рис. 2: Структура управления

Пусть t_0 — момент начала действия управления, l — номер компонента управления, такой что $t_1^l = t_0$, m — такой, что $\tilde{t}_{2q_m}^m = T$, $m \neq l$.

Допустимым считается управление вида (8), при котором для системы (5), (6) выполняется условие (7).

Критерий качества рассматривается в виде функционала

$$J = \alpha \int_{t_0}^T dt + (1 - \alpha) \int_{t_0}^T |u_k(t)| dt. \quad (9)$$

Первое слагаемое в (9) характеризует быстродействие, второе отвечает за расход топлива. Параметр $\alpha \in [0, 1]$.

В указанных обозначениях задача сводится к следующему. При заданных параметрах $x_0, \mu, r_k, q_k, h_k, \alpha, l, m$ необходимо найти точки переключения t_i^k, \tilde{t}_i^k допустимого управления, доставляющие минимум функционалу (9).

§2. Алгоритм построения оптимального управления

ШАГ 1. Произведем линейную замену $x = By$, где B — неособая, постоянная, комплексная, (2×2) -матрица, $y = (y_1, y_2)^T$ — вектор двух комплексных переменных. Подбираем B так, чтобы $B^{-1}AB = Y$, причем $Y = \begin{pmatrix} i\mu & 0 \\ 0 & -i\mu \end{pmatrix}$. Тогда система (5), (6) примет вид

$$\dot{y} = Y y + V, \quad y(0) = y_0, \quad (10)$$

$$C = B^{-1} = \begin{pmatrix} 1 & -i \\ 1 & i \end{pmatrix} = \{c_{ij}\}_{i=1,2}^{j=1,2},$$

$$V = CU = \begin{pmatrix} u_1 - iu_2 \\ u_1 + iu_2 \end{pmatrix},$$

с начальным условием

$$y_0 = Cx_0 = \begin{pmatrix} y_{10} \\ y_{20} \end{pmatrix} = \begin{pmatrix} x_{10} - ix_{20} \\ x_{10} + ix_{20} \end{pmatrix} \quad (11)$$

и граничным условием

$$y(T) = 0. \quad (12)$$

Таким образом, полученная система (10) состоит из двух автономных дифференциальных уравнений первого порядка. Запишем для них решение в форме Коши:

$$\begin{cases} y_1 = y_{10} e^{i\mu t} + e^{i\mu t} \int_0^t v_1(\tau) e^{-i\mu\tau} d\tau, \\ y_2 = y_{20} e^{-i\mu t} + e^{-i\mu t} \int_0^t v_2(\tau) e^{i\mu\tau} d\tau, \end{cases}$$

$$\begin{cases} y_1 = (y_{10} + \int_0^t v_1(\tau)(\cos \mu\tau - i \sin \mu\tau) d\tau)(\cos \mu t + i \sin \mu t), \\ y_2 = (y_{20} + \int_0^t v_2(\tau)(\cos \mu\tau + i \sin \mu\tau) d\tau)(\cos \mu t - i \sin \mu t), \end{cases} \quad (13)$$

ШАГ 2. Представим уравнения (13) в зависимости от точек переключения, подставив функцию управления (8) и сосчитав интеграл:

$$\left\{ \begin{array}{l} y_1 = (y_{10} - \frac{i}{\mu} \sum_{k=1}^2 c_{1k} h_k [F_1^k - iF_2^k]) \cos \mu t + \\ \quad + (iy_{10} + \frac{1}{\mu} \sum_{k=1}^2 c_{1k} h_k [F_1^k - iF_2^k]) \sin \mu t + \frac{i}{\mu} \sum_{k=1}^2 c_{1k} u_k, \\ y_2 = (y_{20} + \frac{i}{\mu} \sum_{k=1}^2 c_{1k} h_k [F_1^k + iF_2^k]) \cos \mu t + \\ \quad + (-iy_{20} + \frac{1}{\mu} \sum_{k=1}^2 c_{1k} h_k [F_1^k + iF_2^k]) \sin \mu t - \frac{i}{\mu} \sum_{k=1}^2 c_{1k} u_k, \end{array} \right. \quad (14)$$

$$F_1^k = \sum_{i=1}^{2r_k} (-1)^{i+1} H(t - t_i^k) \cos \mu t_i^k + \sum_{i=1}^{2q_k} (-1)^i H(t - \tilde{t}_i^k) \cos \mu \tilde{t}_i^k,$$

$$F_2^k = \sum_{i=1}^{2r_k} (-1)^{i+1} H(t - t_i^k) \sin \mu t_i^k + \sum_{i=1}^{2q_k} (-1)^i H(t - \tilde{t}_i^k) \sin \mu \tilde{t}_i^k.$$

В соответствии с задачей, система (14) должна удовлетворять граничному условию (12). Положим $t = T$. Функция Хевисайда во всех слагаемых примет значение, равное единице, т. к. $T \geq t_i^k, T \geq \tilde{t}_i^k, \forall i, k$. Слагаемые, содержащие компоненты управления обнулятся, т. к. к моменту T действие управлений закончится. Далее, приравняв к нулю коэффициенты при вещественных и мнимых частях уравнений (14) — условие равенства нулю комплексного числа, — получим две пары линейно зависимых условий. Выберем одну пару и тогда граничные условия будут равносильны следующим уравнениям:

$$\left\{ \begin{array}{l} K_1 = y'_{10} + \frac{1}{\mu} \sum_{k=1}^2 h_k [c_{1k}^* F_1^k - c'_{1k} F_2^k] = 0, \\ K_2 = y_{10}^* - \frac{1}{\mu} \sum_{k=1}^2 h_k [c'_{1k} F_1^k + c_{1k}^* F_2^k] = 0, \end{array} \right. \quad (15)$$

где переменные y_{10}, c_{1k} разделены на вещественные и мнимые части: $y_{10} = y'_{10} + iy_{10}^*, c_{1k} = c'_{1k} + ic_{1k}^*$.

Аналогично, с учетом структуры управления (8) перепишем функционал качества (9) в зависимости от точек переключения:

$$J = \alpha(T - t_0) + (1 - \alpha) \sum_{k=1}^2 h_k \left[\sum_{i=1}^{2r_k} (-1)^i t_i^k + \sum_{i=1}^{2q_k} (-1)^i \tilde{t}_i^k \right]. \quad (16)$$

Таким образом, задача свелась к минимизации функционала (16) при выполнении условий (15).

ШАГ 3. Перейдем к безусловной минимизации, вводя множители Лагранжа λ_1, λ_2 .

$$R = J + \lambda_1 K_1 + \lambda_2 K_2, \quad (17)$$

$R = R(t_0, T, t_i^k, \tilde{t}_i^k)$. Необходимым условием экстремума функционала R является равенство нулю всех частных производных. Рассмотрим два уравнения:

$$\begin{cases} \frac{\partial R}{\partial t_i^k} = 0 \Rightarrow a_k \cos \mu t_i^k + b_k \sin \mu t_i^k = -1 + \alpha, \\ \frac{\partial R}{\partial \tilde{t}_i^k} = 0 \Rightarrow a_k \cos \mu \tilde{t}_i^k + b_k \sin \mu \tilde{t}_i^k = 1 - \alpha, \end{cases} \quad (18)$$

$$a_k = \lambda_1 c'_{1k} + \lambda_2 c^*_{1k}, \quad b_k = \lambda_1 c^*_{1k} - \lambda_2 c'_{1k}. \quad (19)$$

Из (18) получаем зависимость точек переключения для $j = \overline{1, r_k}, k = 1, 2$:

$$\begin{aligned} t_{2j-1}^k &= t_1^k + \frac{2\pi(j-1)}{\mu}, & t_{2j}^k &= t_2^k + \frac{2\pi(j-1)}{\mu}, \\ \tilde{t}_{2j-1}^k &= t_1^k + \frac{2\pi(j-1)}{\mu} + \frac{\pi}{\mu}, & \tilde{t}_{2j}^k &= t_2^k + \frac{2\pi(j-1)}{\mu} + \frac{\pi}{\mu}. \end{aligned} \quad (20)$$

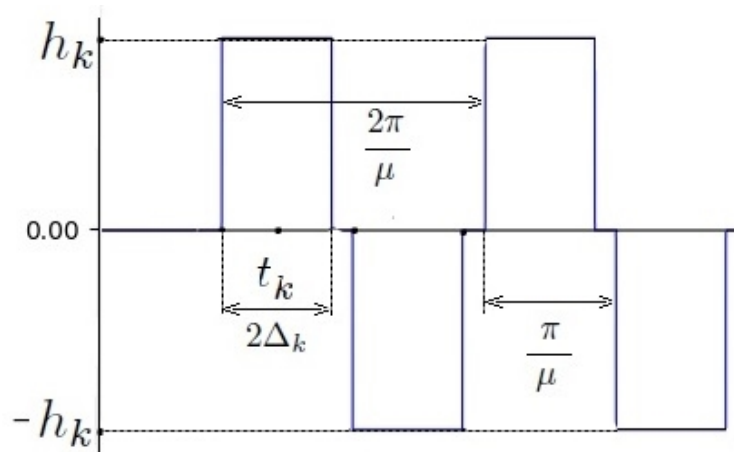


Рис. 3: Периодичность точек переключения

Из полученных соотношений видно, что ступени периодичны и имеют одинаковую ширину (Рис. 3). Расстояние между двумя соседними точками включения верхних ступеней равно $\frac{2\pi}{\mu}$, тогда как расстояние между двумя соседними точками включения верхней и нижней ступеней равно $\frac{\pi}{\mu}$ для каждого компонента управления. Аналогично выполняются соотношения между точками выключения ступеней. В соответствии с этим, мы можем ограничиться рассмотрением лишь точек включения и выключения первой ступени каждого компонента управления, т. к. все остальные выражаются через них, согласно формуле (20). Отдельному рассмотрению подлежат первая ступень l -го компонента управления и последняя ступень m -го компонента, потому что их длины могут быть меньше величины длин остальных ступенек соответствующего компонента управления.

ШАГ 4. Введем новые обозначения. Пусть t_k, t^*, t_T — средние моменты первой ступени k -го, первой ступени l -го и последней ступени m -го компонентов управления соответственно, $2\Delta_k, 2\Delta_0, 2\Delta_T$ — значения ширин соответствующих ступеней (Рис. 3). Тогда:

$$\begin{aligned} t_1^k &= t_k - \Delta_k, & t_2^k &= t_k + \Delta_k, & k &= 1, 2, \\ t_0 &= t^* - \Delta_0, & t_2^l &= t^* + \Delta_0, & & (21) \\ \tilde{t}_{q_m-1}^m &= t_T - \Delta_T, & T &= t_T + \Delta_T. \end{aligned}$$

В соответствии с этими обозначениями, перепишем граничные условия (15) и функционал качества (16).

$$\begin{aligned} F_1^l &= 2 \sin \mu t^* \sin \mu \Delta_0 + 2(r_l + q_l - 1) \sin \mu t_l \sin \mu \Delta_l, \\ F_2^l &= -2 \cos \mu t^* \sin \mu \Delta_0 - 2(r_l + q_l - 1) \cos \mu t_l \sin \mu \Delta_l, \\ F_1^m &= -2 \sin \mu t_T \sin \mu \Delta_T + 2(r_m + q_m - 1) \sin \mu t_m \sin \mu \Delta_m, \\ F_2^m &= 2 \cos \mu t_T \sin \mu \Delta_T - 2(r_m + q_m - 1) \cos \mu t_m \sin \mu \Delta_m. \end{aligned}$$

⇒

$$\left\{ \begin{array}{l} L_1 = y'_{10} + \frac{2}{\mu} \left[\sum_{k=1}^2 S_k (c'_{1k} \sin \mu t_k + c_{1k} \cos \mu t_k) \sin \mu \Delta_k + \right. \\ \quad \left. + h_l (c'_{1l} \sin \mu t^* + c_{1l} \cos \mu t^*) \sin \mu \Delta_0 - \right. \\ \quad \left. - h_m (c'_{1m} \sin \mu t_T + c_{1m} \cos \mu t_T) \sin \mu \Delta_T \right], \\ L_2 = y^*_{10} - \frac{2}{\mu} \left[\sum_{k=1}^2 S_k (c'_{1k} \sin \mu t_k - c_{1k} \cos \mu t_k) \sin \mu \Delta_k + \right. \\ \quad \left. + h_l (c'_{1l} \sin \mu t^* - c_{1l} \cos \mu t^*) \sin \mu \Delta_0 - \right. \\ \quad \left. - h_m (c'_{1m} \sin \mu t_T - c_{1m} \cos \mu t_T) \sin \mu \Delta_T \right]. \end{array} \right. \quad (22)$$

$$M = \alpha(T - t_0) + 2(1 - \alpha) \left[\sum_{k=1}^2 S_k \Delta_k + h_l \Delta_0 + h_m \Delta_T \right]. \quad (23)$$

$$S_k = (r_k + q_k - 1)h_k.$$

ШАГ 5. Рассмотрим первое слагаемое функционала (23).

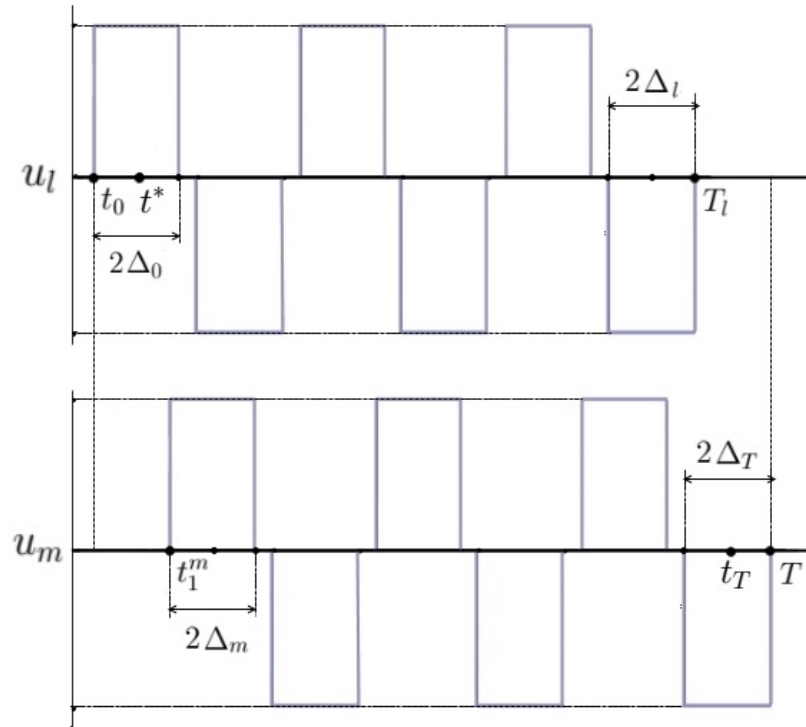


Рис. 4: Промежуток действия управления

Согласно выражениям (20), сохраняется периодичность средних моментов ступеней для всех компонентов управления, следовательно

$$t^* = t_l, \quad t_T = t_m + \frac{(r_m + q_m - 1)\pi}{\mu}.$$

Пусть T_l — момент окончания действия управления u_l , т. е. $T_l = \tilde{t}_{2q_l}^l$, $\Delta T_l, \Delta T_m$ — время действия соответствующих компонентов управления. Тогда (Рис. 4):

$$\Delta T_l = T_l - t_0, \quad \Delta T_m = T - t_1^m, \quad (24)$$

$$\Delta T_l = \Delta_l + \Delta_0 + \frac{(r_l + q_l - 1)\pi}{\mu}, \quad \Delta T_m = \Delta_m + \Delta_T + \frac{(r_m + q_m - 1)\pi}{\mu}. \quad (25)$$

Складывая уравнения (24), мы получим

$$\Delta T_l + \Delta T_m = (T - t_0) + (T_l - t_1^m),$$

$$T - t_0 = (\Delta T_l + \Delta T_m) - (T_l - t_1^m). \quad (26)$$

Минимизация первого слагаемого функционала (23) есть минимизация (26). В соответствии с периодичностью ступеней, полагается, что второе слагаемое (26) фиксировано, следовательно, при минимизации им можно пренебречь.

$$\Delta T_l + \Delta T_m = \Delta_l + \Delta_m + \Delta_0 + \Delta_T + \frac{(r_l + q_l - 1)\pi}{\mu} + \frac{(r_m + q_m - 1)\pi}{\mu}. \quad (27)$$

Т. к. константы не влияют на нахождение точек экстремума, то мы можем их опустить. Тогда, в соответствии с (27), функционал M примет следующий вид:

$$M = \alpha(\Delta_l + \Delta_m + \Delta_0 + \Delta_T) + 2(1 - \alpha) \left[\sum_{k=1}^2 S_k \Delta_k + h_l \Delta_0 + h_m \Delta_T \right]. \quad (28)$$

ШАГ 6. Таким образом, задача состоит в том, чтобы минимизировать функционал (28) при выполнении условий (22). Перейдем к безусловной минимизации функционала $G = M + \lambda_1 L_1 + \lambda_2 L_2$.

$$G = M + \lambda_1 y'_{10} + \lambda_2 y^*_{10} + \frac{2}{\mu} \left[\sum_{k=1}^2 S_k (b_k \sin \mu t_k - a_k \cos \mu t_k) \sin \mu \Delta_k + \right. \\ \left. + h_l (b_l \sin \mu t^* - a_l \cos \mu t^*) \sin \mu \Delta_0 - h_m (b_m \sin \mu t_T - a_m \cos \mu t_T) \sin \mu \Delta_T \right]. \quad (29)$$

Приравняем нулю все частные производные функционала G :

$$\begin{aligned} \frac{\partial G}{\partial t_k} = 0 &\Rightarrow (b_k \cos \mu t_k - a_k \sin \mu t_k) \sin \mu \Delta_k = 0, \\ \frac{\partial G}{\partial \Delta_k} = 0 &\Rightarrow (b_k \sin \mu t_k + a_k \cos \mu t_k) \cos \mu \Delta_k = -\frac{\alpha}{2S_k} - 1 + \alpha, \\ \frac{\partial G}{\partial t^*} = 0 &\Rightarrow (b_l \cos \mu t^* - a_l \sin \mu t^*) \sin \mu \Delta_0 = 0, \\ \frac{\partial G}{\partial \Delta_0} = 0 &\Rightarrow (b_l \sin \mu t^* + a_l \cos \mu t^*) \cos \mu \Delta_0 = -\frac{\alpha}{2h_l} - 1 + \alpha, \\ \frac{\partial G}{\partial t_T} = 0 &\Rightarrow (b_m \cos \mu t_T - a_m \sin \mu t_T) \sin \mu \Delta_T = 0, \\ \frac{\partial G}{\partial \Delta_T} = 0 &\Rightarrow (b_m \sin \mu t_T + a_m \cos \mu t_T) \cos \mu \Delta_T = \frac{\alpha}{2h_m} + 1 - \alpha. \end{aligned} \quad (30)$$

I. Рассмотрим первые два уравнения системы (30).

1). $\sin \mu \Delta_k = 0 \Rightarrow \Delta_k = 0$, что означает отсутствие управления (этот случай не рассматривается), либо $\Delta_k = \frac{\pi}{\mu}$, что тоже невозможно, т. к. должно выполняться соотношение $\Delta_k \leq \frac{\pi}{2\mu}$ (из (20)). Следовательно, $\sin \mu \Delta_k \neq 0$.

2). $\sin \mu \Delta_k \neq 0 \Rightarrow b_k \cos \mu t_k - a_k \sin \mu t_k = 0$. Пусть $\cos \mu t_k = \alpha_k$, тогда получим:

$$\sin \mu t_k = \frac{\left(-\frac{\alpha}{2S_k} - 1 + \alpha\right) b_k}{\alpha_k (a_k^2 + b_k^2)}, \quad \cos \mu t_k = \frac{\left(-\frac{\alpha}{2S_k} - 1 + \alpha\right) a_k}{\alpha_k (a_k^2 + b_k^2)}. \quad (31)$$

II. Рассмотрим вторые два уравнения системы (30). Пусть $\cos \mu t^* = \alpha_0$,

тогда, аналогично пункту I, получим:

$$\sin \mu t^* = \frac{\left(-\frac{\alpha}{2h_l} - 1 + \alpha\right) b_l}{\alpha_0(a_l^2 + b_l^2)}, \quad \cos \mu t^* = \frac{\left(-\frac{\alpha}{2h_l} - 1 + \alpha\right) a_l}{\alpha_0(a_l^2 + b_l^2)}. \quad (32)$$

III. Рассмотрим последние два уравнения системы (30). Пусть $\cos \mu t_T = \alpha_T$, тогда, аналогично пункту I, получим:

$$\sin \mu t_T = \frac{\left(\frac{\alpha}{2h_m} + 1 - \alpha\right) b_m}{\alpha_T(a_m^2 + b_m^2)}, \quad \cos \mu t_T = \frac{\left(\frac{\alpha}{2h_m} + 1 - \alpha\right) a_m}{\alpha_T(a_m^2 + b_m^2)}. \quad (33)$$

Далее рассмотрим уравнение $\lambda_2 L_1 - \lambda_1 L_2 = 0$ (из (22)) с целью выразить λ_2 через λ_1 и тем самым уменьшить количество неизвестных.

$$0 = \lambda_2 y'_{10} - \lambda_1 y^*_{10} + \frac{2}{\mu} \left[\sum_{k=1}^2 S_k (a_k \sin \mu t_k - b_k \cos \mu t_k) \sin \mu \Delta_k + \right. \\ \left. + h_l (a_l \sin \mu t^* - b_l \cos \mu t^*) \sin \mu \Delta_0 - h_m (a_m \sin \mu t_T - b_m \cos \mu t_T) \sin \mu \Delta_T \right]. \quad (34)$$

Согласно (31)–(33), каждое слагаемое в квадратных скобках выражения (34) обнулится, следовательно

$$\lambda_2 = \frac{y^*_{10}}{y'_{10}} \lambda_1. \quad (35)$$

ШАГ 7. Выразим все оставшиеся переменные через λ_1 . Положим $A_k = c'_{1k} y'_{10} + c^*_{1k} y^*_{10}$, $B_k = c^*_{1k} y'_{10} - c'_{1k} y^*_{10}$, $M_k = |y_{10}| |c_{1k}|$, $|y_{10}| = \sqrt{y'^2_{10} + y^{*2}_{10}}$, $|c_{1k}| = \sqrt{c'^2_{1k} + c^{*2}_{1k}}$, $\Rightarrow M_k^2 = A_k^2 + B_k^2 = |y_{10}|^2 |c_{1k}|^2$. Тогда, из (19), (35):

$$a_k = \frac{\lambda_1 A_k}{y'_{10}}, \quad b_k = \frac{\lambda_1 B_k}{y'_{10}}. \quad (36)$$

Из (30):

$$t_k = \frac{1}{\mu} \left(\arctan \left(\frac{B_k}{A_k} \right) + \pi n_k \right), \quad (37)$$

$$t^* = \frac{1}{\mu} \left(\arctan \left(\frac{B_l}{A_l} \right) + \pi n_l \right), \quad (38)$$

$$t_T = \frac{1}{\mu} \left(\arctan \left(\frac{B_m}{A_m} \right) + \pi n_m \right). \quad (39)$$

Как видно из Рис. 3 и формул (20), ширина одной ступени не превосходит $\frac{\pi}{\mu}$, т. е. величины $\Delta_k, \Delta_0, \Delta_T$ не превосходят $\frac{\pi}{2\mu}$. Для конкретики полагаем, что каждый компонент управления начинает действовать на первом периоде, т. е. n_k, n_l выбираются таким образом, что $t_k \in (0; \frac{\pi}{2\mu}]$, $t^* \in (0; \frac{\pi}{2\mu}]$. Кроме того, $\sin \mu t_k > 0$, $\sin \mu t^* > 0$.

Определим интервал, которому принадлежит t_T . Из Рис. 4 и формул (20):

$$t_T = t_m + \frac{(r_m + q_m - 1)\pi}{\mu},$$

при этом $0 < t_m \leq \frac{\pi}{2\mu}, \Rightarrow$

$$\frac{(r_m + q_m - 1)\pi}{\mu} < t_T \leq \frac{\pi}{2\mu} + \frac{(r_m + q_m - 1)\pi}{\mu} < \frac{(r_m + q_m)\pi}{\mu}.$$

Следовательно, n_m выбирается так, что $t_T \in (\frac{(r_m + q_m - 1)\pi}{\mu}; \frac{(r_m + q_m)\pi}{\mu})$. Согласно постановке задачи, $r_k = q_k \forall k$, тогда $r_m + q_m - 1$ — нечетное число, $r_m + q_m$ — четное число, т. е. $\sin \mu t_T < 0$.

Далее, из системы (30), пользуясь тригонометрическими формулами $\sin x = \frac{\tan x}{\pm\sqrt{1 + \tan^2 x}}$, $\cos x = \frac{1}{\pm\sqrt{1 + \tan^2 x}}$, выпишем следующие выражения:

$$\sin \mu t_k = \frac{\sigma_k B_k}{M_k}, \quad \cos \mu t_k = \frac{\sigma_k A_k}{M_k},$$

$$\sin \mu \Delta_k = \frac{\sqrt{\lambda_1^2 M_k^2 - \left(-\frac{\alpha}{2S_k} - 1 + \alpha\right)^2 y_{10}'^2}}{|\lambda_1| M_k}. \quad (40)$$

$$\sin \mu t^* = \frac{\sigma_0 B_l}{M_l}, \quad \cos \mu t^* = \frac{\sigma_0 A_l}{M_l},$$

$$\sin \mu \Delta_0 = \frac{\sqrt{\lambda_1^2 M_l^2 - \left(-\frac{\alpha}{2h_l} - 1 + \alpha\right)^2 y_{10}'^2}}{|\lambda_1| M_l}. \quad (41)$$

$$\begin{aligned}\sin \mu t_t &= \frac{\sigma_T B_m}{M_m}, & \cos \mu t_T &= \frac{\sigma_T A_m}{M_m}, \\ \sin \mu \Delta_T &= \frac{\sqrt{\lambda_1^2 M_m^2 - \left(\frac{\alpha}{2h_m} + 1 - \alpha\right)^2 y_{10}'^2}}{|\lambda_1| M_m}.\end{aligned}\tag{42}$$

Значения σ_k , σ_0 , σ_T определяют знаки соответствующих синусов:

$$\sigma_k = \text{sign}(B_k), \quad \sigma_0 = \text{sign}(B_l), \quad \sigma_T = -\text{sign}(B_m).$$

Таким образом, все переменные выражены через λ_1 . Теперь рассмотрим уравнение $\lambda_1 L_1 + \lambda_2 L_2 = 0$ (из (22)).

$$\begin{aligned}0 &= \lambda_1 y_{10}' + \lambda_2 y_{10}^* + \frac{2}{\mu} \left[\sum_{k=1}^2 S_k (b_k \sin \mu t_k + a_k \cos \mu t_k) \sin \mu \Delta_k + \right. \\ &\quad \left. + h_l (b_l \sin \mu t^* + a_l \cos \mu t^*) \sin \mu \Delta_0 - h_m (b_m \sin \mu t_T + a_m \cos \mu t_T) \sin \mu \Delta_T \right].\end{aligned}$$

Подставляя в это уравнение формулы (40)–(42), получим уравнение для нахождения λ_1 :

$$\begin{aligned}\lambda_1 |y_{10}|^2 &= -\frac{2}{\mu} \left[\sum_{k=1}^2 S_k \sigma_k \sqrt{\lambda_1^2 M_k^2 - \left(-\frac{\alpha}{2S_k} - 1 + \alpha\right)^2 y_{10}'^2} + \right. \\ &\quad \left. + h_l \sigma_0 \sqrt{\lambda_1^2 M_l^2 - \left(-\frac{\alpha}{2h_l} - 1 + \alpha\right)^2 y_{10}'^2} - \right. \\ &\quad \left. - h_m \sigma_T \sqrt{\lambda_1^2 M_m^2 - \left(\frac{\alpha}{2h_m} + 1 - \alpha\right)^2 y_{10}'^2} \right].\end{aligned}\tag{43}$$

Используя точки переключения, найденные с помощью формул (37)–(43), в аналитическом виде можно построить оптимальное управление для любых значений параметров.

§3. Программная реализация

1. Особенности программной реализации

Решение уравнения (43) относительно λ_1 является корнем функции следующего вида:

$$f(x) = kx + \sum_{i=1}^n \beta_i \sqrt{a_i^2 x^2 - b_i^2}, \quad (44)$$

причём $k, \beta_i, a_i, b_i, i = \overline{1, n}$ — константы, $k \geq 0, a_i > 0, i = \overline{1, n}$. Область определения этой функции

$$a_i^2 x^2 - b_i^2 \geq 0, \quad i = \overline{1, n}.$$

$$\text{Положим } A = \max_i \left| \frac{b_i}{a_i} \right| \geq 0, \Rightarrow$$

$$x \in \left(-\infty; -A \right] \cup \left[A; +\infty \right). \quad (45)$$

Рассмотрим производную функции $f(x)$:

$$f'(x) = k + x \sum_{i=1}^n \frac{\beta_i a_i^2}{\sqrt{a_i^2 x^2 - b_i^2}}.$$
$$f'(x) \xrightarrow{x \rightarrow \pm A} \pm \infty$$

Это говорит о том, что в окрестности границ области определения (45) производная функции неограничена. Ввиду этого, во избежание большой погрешности вычислений, в ходе программной реализации были использованы численные методы, которые не основываются на значениях производной. Также, в процессе реализации оценены интервалы нахождения корней.

$$\text{I. } x \in \left[A; +\infty \right).$$

Рассмотрим сумму из правой части выражения (44):

$$\sum_{i=1}^n \beta_i \sqrt{a_i^2 x^2 - b_i^2} = \sum_{\substack{i=1, \\ \beta_i \geq 0}}^n \beta_i \sqrt{a_i^2 x^2 - b_i^2} - \sum_{\substack{i=1, \\ \beta_i < 0}}^n |\beta_i| \sqrt{a_i^2 x^2 - b_i^2}, \quad (46)$$

$$\sqrt{a_i^2 x^2 - b_i^2} \leq \sqrt{a_i^2 x^2} = a_i x, \quad (47)$$

$$\sqrt{a_i^2 x^2 - b_i^2} = \sqrt{(a_i x - |b_i|)(a_i x + |b_i|)} \geq \sqrt{(a_i x - |b_i|)^2} = a_i x - |b_i|. \quad (48)$$

Тогда, из (46)–(48):

$$\begin{aligned} \sum_{i=1}^n \beta_i \sqrt{a_i^2 x^2 - b_i^2} &\geq \sum_{\substack{i=1, \\ \beta_i \geq 0}}^n \beta_i (a_i x - |b_i|) - \sum_{\substack{i=1, \\ \beta_i < 0}}^n |\beta_i| a_i x, \\ \sum_{i=1}^n \beta_i \sqrt{a_i^2 x^2 - b_i^2} &\geq x \sum_{i=1}^n \beta_i a_i - \sum_{\substack{i=1, \\ \beta_i \geq 0}}^n \beta_i |b_i|. \end{aligned}$$

Учитывая последнее неравенство, имеем:

$$\begin{aligned} f(x) &= kx + \sum_{i=1}^n \beta_i \sqrt{a_i^2 x^2 - b_i^2} \geq kx + x \sum_{i=1}^n \beta_i a_i - \sum_{\substack{i=1, \\ \beta_i \geq 0}}^n \beta_i |b_i|, \\ f(x) &\geq (k + \sum_{i=1}^n \beta_i a_i) x - \sum_{\substack{i=1, \\ \beta_i \geq 0}}^n \beta_i |b_i|. \end{aligned}$$

Введем обозначения: $k_{pos} = (k + \sum_{i=1}^n \beta_i a_i)$, $b_{min} = - \sum_{\substack{i=1, \\ \beta_i \geq 0}}^n \beta_i |b_i|$, \Rightarrow

$$f(x) \geq k_{pos} x + b_{min}. \quad (49)$$

Таким образом, мы получили, что функция $f(x)$ на интервале $x \in [A; +\infty)$ ограничена снизу прямой, которая описывается уравнением с известными коэффициентами.

Аналогично производится оценка сверху. Из (46)–(48):

$$\begin{aligned}\sum_{i=1}^n \beta_i \sqrt{a_i^2 x^2 - b_i^2} &\leq \sum_{\substack{i=1, \\ \beta_i \geq 0}}^n \beta_i a_i x - \sum_{\substack{i=1, \\ \beta_i < 0}}^n |\beta_i| (a_i x - |b_i|), \\ \sum_{i=1}^n \beta_i \sqrt{a_i^2 x^2 - b_i^2} &\leq x \sum_{i=1}^n \beta_i a_i + \sum_{\substack{i=1, \\ \beta_i < 0}}^n |\beta_i| |b_i|.\end{aligned}$$

Учитывая последнее неравенство, имеем:

$$\begin{aligned}f(x) = kx + \sum_{i=1}^n \beta_i \sqrt{a_i^2 x^2 - b_i^2} &\leq kx + x \sum_{i=1}^n \beta_i a_i + \sum_{\substack{i=1, \\ \beta_i < 0}}^n |\beta_i| |b_i|, \\ f(x) &\leq (k + \sum_{i=1}^n \beta_i a_i)x + \sum_{\substack{i=1, \\ \beta_i < 0}}^n |\beta_i| |b_i|.\end{aligned}$$

Обозначим $b_{max} = \sum_{\substack{i=1, \\ \beta_i < 0}}^n |\beta_i| |b_i|$, тогда

$$f(x) \leq k_{pos}x + b_{max}. \quad (50)$$

II. $x \in \left(-\infty; -A\right]$.

На этом промежутке $x \leq A \leq 0$, следовательно, модули раскрываются с отрицательным знаком. В таком случае формулы (47), (48) примут вид:

$$\sqrt{a_i^2 x^2 - b_i^2} \leq \sqrt{a_i^2 x^2} = -a_i x, \quad (51)$$

$$\sqrt{a_i^2 x^2 - b_i^2} = \sqrt{(a_i |x| - |b_i|)(a_i |x| + |b_i|)} \geq \sqrt{(a_i |x| - |b_i|)^2} = -a_i x - |b_i|. \quad (52)$$

Тогда, из (46), (51), (52):

$$\begin{aligned}\sum_{i=1}^n \beta_i \sqrt{a_i^2 x^2 - b_i^2} &\geq \sum_{\substack{i=1, \\ \beta_i \geq 0}}^n \beta_i (-a_i x - |b_i|) - \sum_{\substack{i=1, \\ \beta_i < 0}}^n |\beta_i| (-a_i x), \\ \sum_{i=1}^n \beta_i \sqrt{a_i^2 x^2 - b_i^2} &\geq -x \sum_{i=1}^n \beta_i a_i - \sum_{\substack{i=1, \\ \beta_i \geq 0}}^n \beta_i |b_i|.\end{aligned}$$

Учитывая последнее неравенство, имеем:

$$f(x) = kx + \sum_{i=1}^n \beta_i \sqrt{a_i^2 x^2 - b_i^2} \geq kx - x \sum_{i=1}^n \beta_i a_i - \sum_{\substack{i=1, \\ \beta_i \geq 0}}^n \beta_i |b_i|,$$

$$f(x) \geq (k - \sum_{i=1}^n \beta_i a_i)x - \sum_{\substack{i=1, \\ \beta_i \geq 0}}^n \beta_i |b_i|.$$

Обозначим $k_{neg} = k - \sum_{i=1}^n \beta_i a_i$, тогда

$$f(x) \geq k_{neg}x + b_{min}. \quad (53)$$

Аналогично производится оценка сверху. Из (46), (51), (52):

$$\sum_{i=1}^n \beta_i \sqrt{a_i^2 x^2 - b_i^2} \leq \sum_{\substack{i=1, \\ \beta_i \geq 0}}^n \beta_i (-a_i x) - \sum_{\substack{i=1, \\ \beta_i < 0}}^n |\beta_i| (-a_i x - |b_i|),$$

$$\sum_{i=1}^n \beta_i \sqrt{a_i^2 x^2 - b_i^2} \leq -x \sum_{i=1}^n \beta_i a_i + \sum_{\substack{i=1, \\ \beta_i < 0}}^n |\beta_i| |b_i|.$$

Учитывая последнее неравенство, имеем:

$$f(x) = kx + \sum_{i=1}^n \beta_i \sqrt{a_i^2 x^2 - b_i^2} \leq kx - x \sum_{i=1}^n \beta_i a_i + \sum_{\substack{i=1, \\ \beta_i < 0}}^n |\beta_i| |b_i|,$$

$$f(x) \leq (k - \sum_{i=1}^n \beta_i a_i)x + \sum_{\substack{i=1, \\ \beta_i < 0}}^n |\beta_i| |b_i|.$$

$$f(x) \leq k_{neg}x + b_{max}. \quad (54)$$

График, иллюстрирующий применение оценок (49), (50), (53), (54) для уравнения (43) при значениях параметров $\alpha = 0.5$, $x = (95, -10)^T$, $r_k = q_k = 3$, $h_k = 6$, $k = \overline{1, 2}$, $\mu = 1$ представлен на Рис. 5. Корень ищется на промежутке, одной из границ которого является точка пересечения соответствующей ограничивающей прямой с осью Ox , а другой — граница области определения (Рис. 5). Таким образом, на указанном промежутке

функция полностью определена, что обеспечивает корректную работу программы.

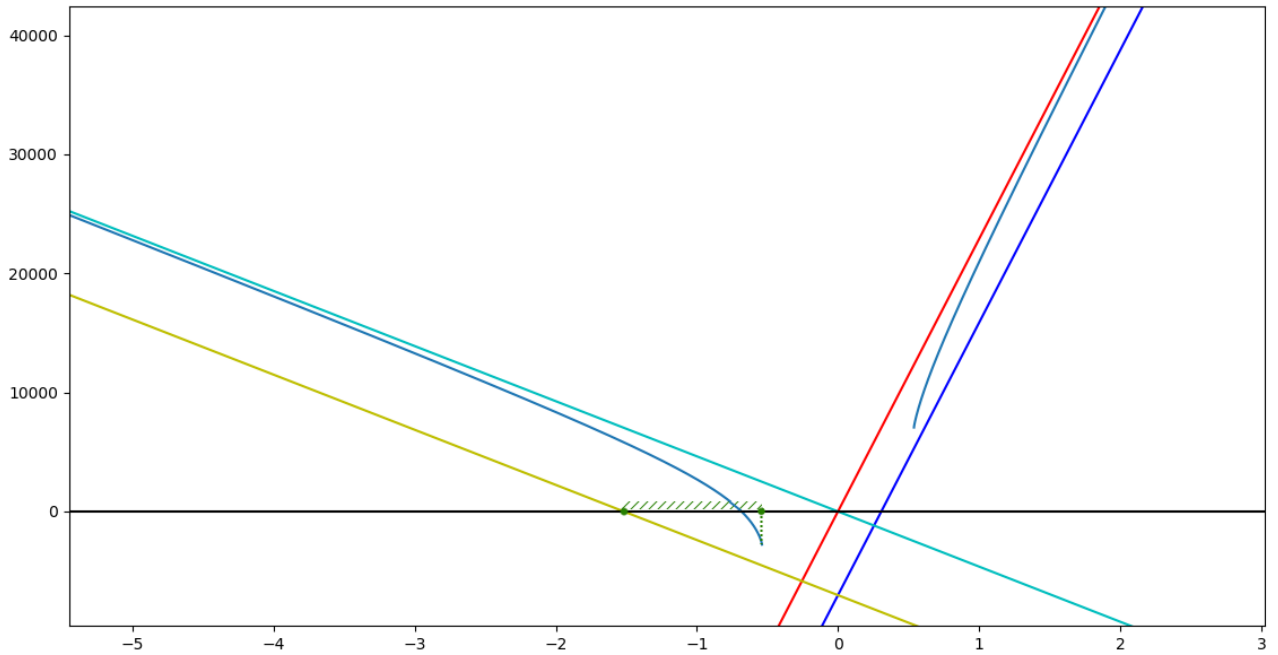


Рис. 5: Интервал нахождения корня

2. Результаты программной реализации

При некоторых значениях параметров уравнение (43) может не иметь решения, т. е. в таких случаях не существует оптимального управления, доставляющего минимум функционалу (9). В процессе численной реализации методом перебора были найдены некоторые значения параметров $x_0, \mu, r_k, q_k, h_k, \alpha, l, m$, при которых существует решение. Графики, иллюстрирующие работу алгоритма при некоторых из этих значений приведены ниже (Рис. 7–13).

В общем случае решение исходной системы (5) без воздействия управления выглядит, как показано на Рис. 6. Левые два графика показывают изменение соответствующих фазовых переменных в зависимости от времени, правый график изображает фазовый портрет системы. Решение построено при векторе начальных данных $x_0 = (95, -10)^T$. Как видно из Рис. 6, система совершает периодические колебания, гашение которых и является целью воздействия управления.

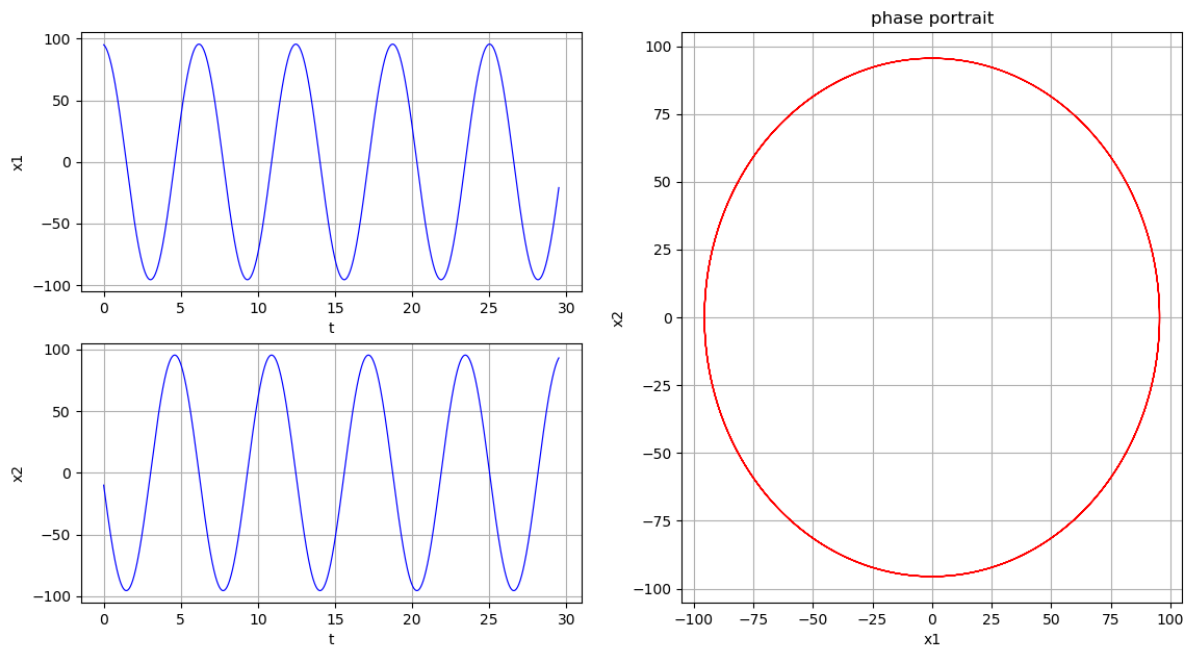


Рис. 6: Поведение системы без воздействия управления

Теперь рассмотрим аналогичные графики для системы, на которую воздействует управление, построенное согласно описанному в §2 алгоритму.

1). Приведем графики поведения системы при фиксированном значении следующих параметров: $\alpha = 0$ (что соответствует критерию по расходу топлива), $x_0 = (1, -1)^T$, $\mu = 1$, $l = 1$, $m = 2$ и различных значениях параметров r_k , q_k , h_k (Рис. 7–9).

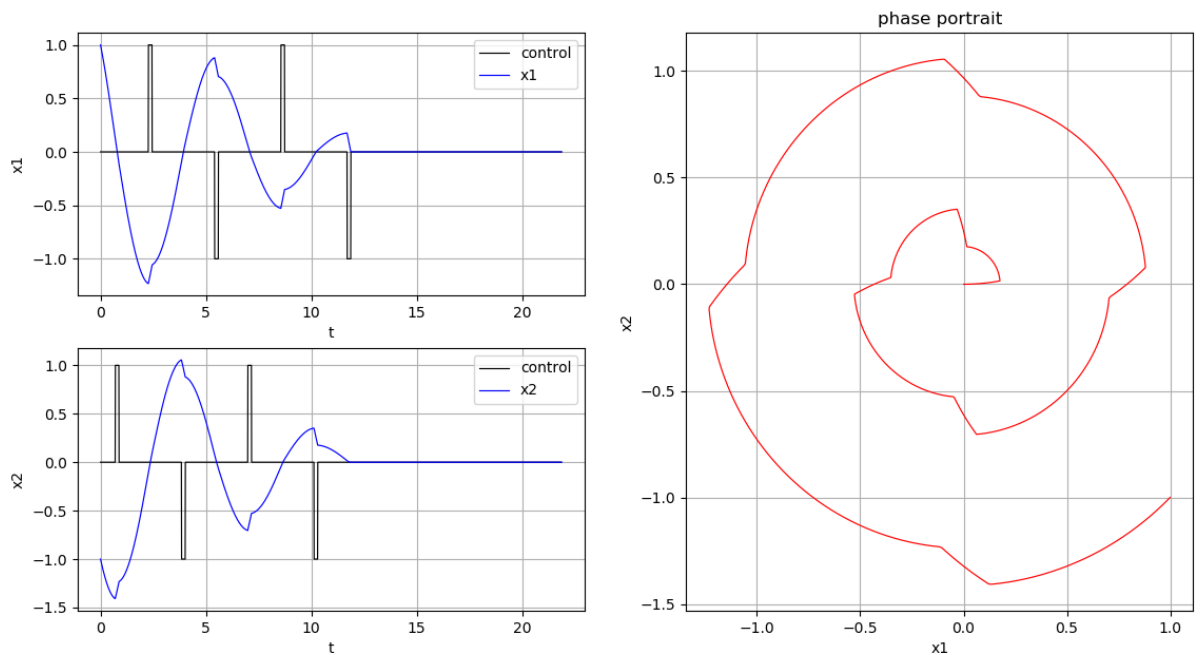


Рис. 7: $h_k = 1$, $r_k = q_k = 2$, $\forall k$

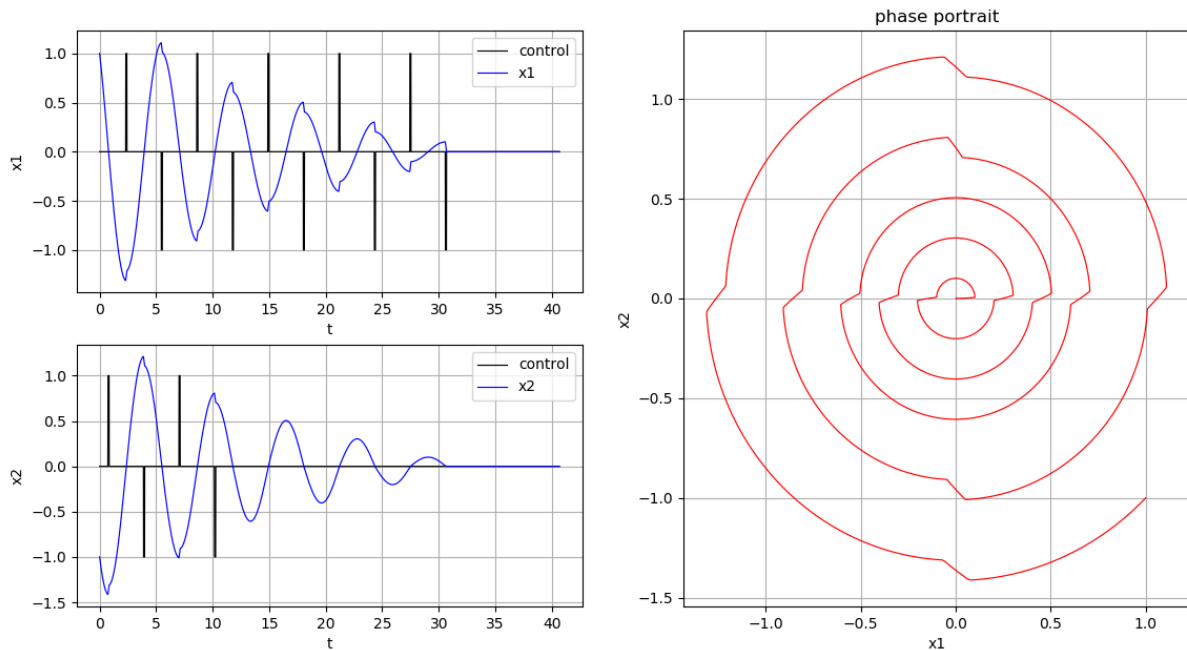


Рис. 8: $h_1 = h_2 = 1, r_1 = q_1 = 5, r_2 = q_2 = 2$

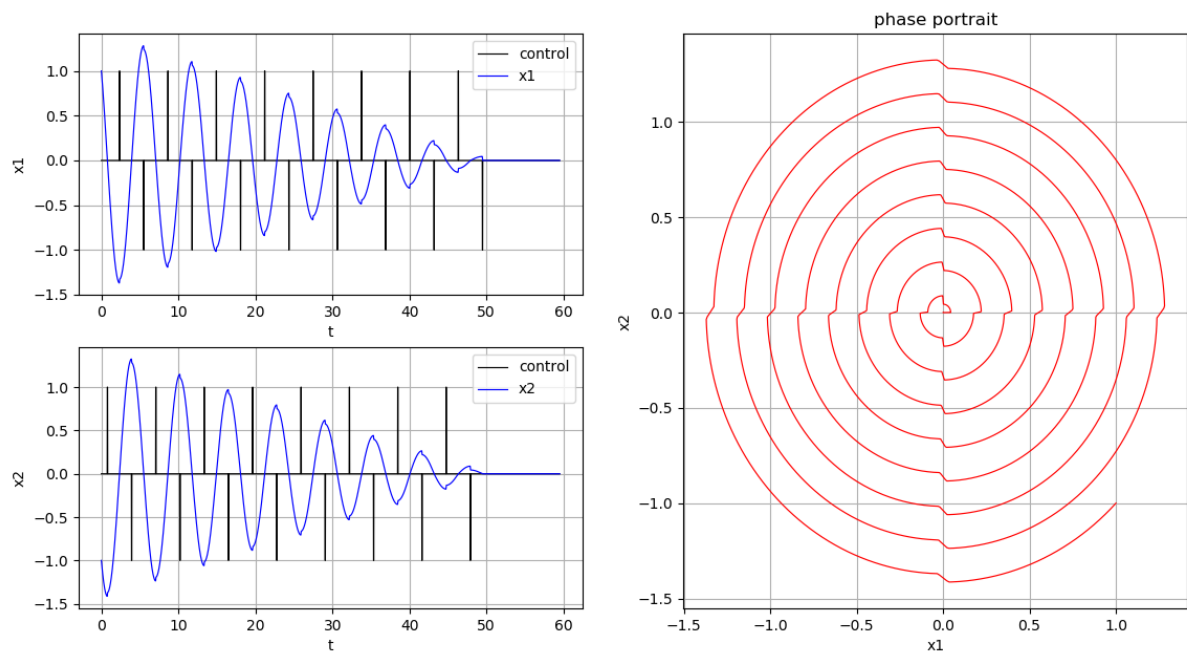


Рис. 9: $h_k = 1, r_k = q_k = 8, \forall k$

2). Приведем графики поведения системы при фиксированном значении следующих параметров: $\alpha = 1/2, x_0 = (95, -10)^T, \mu = 1, l = 1, m = 2$ и различных значениях параметров r_k, q_k, h_k (Рис. 10, 11).

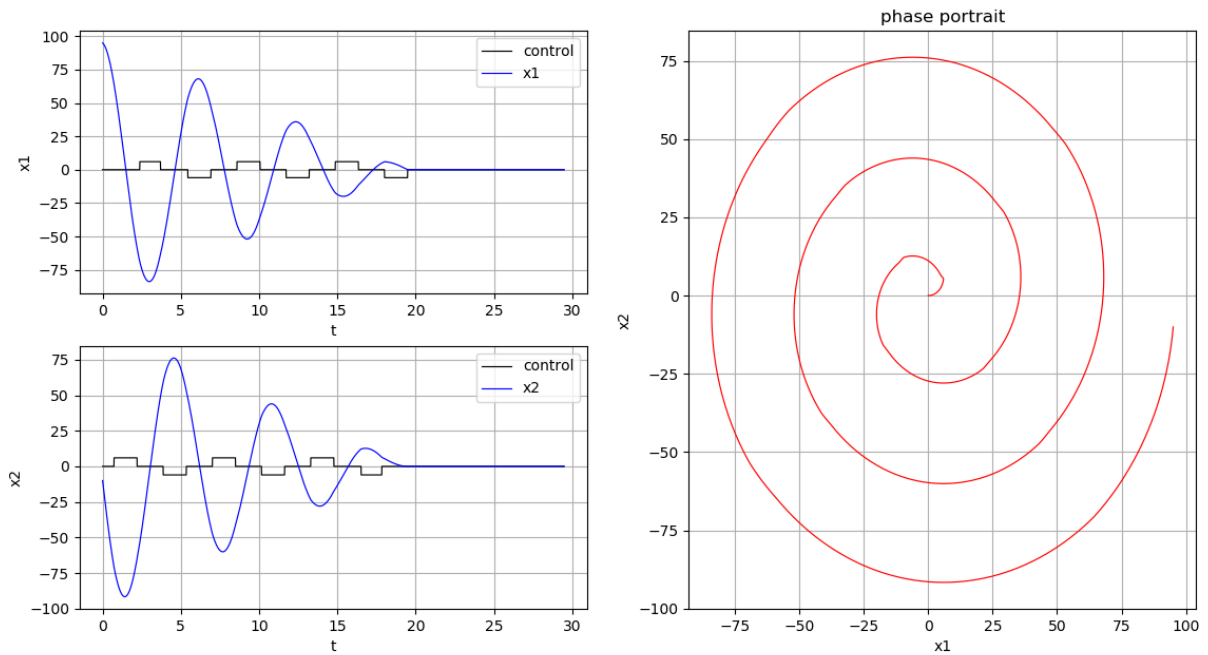


Рис. 10: $h_k = 6, r_k = q_k = 3, \forall k$

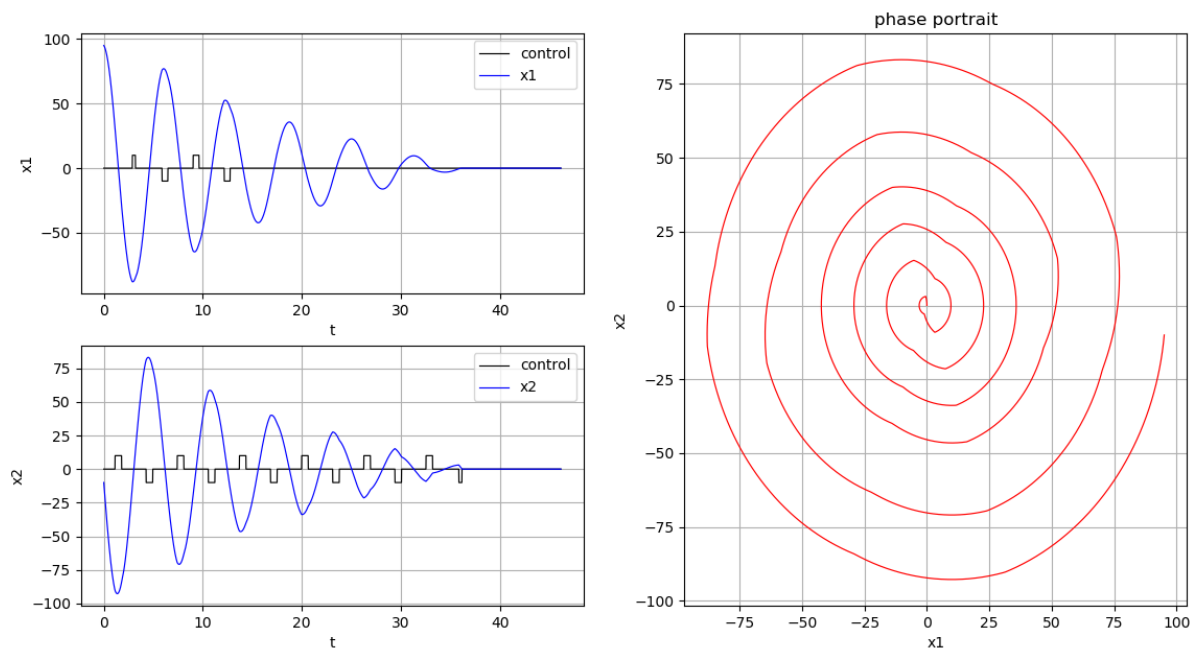


Рис. 11: $h_1 = h_2 = 10, r_1 = q_1 = 2, r_2 = q_2 = 6$

3). Приведем графики поведения системы при фиксированном значении следующих параметров: $\alpha = 1$ (что соответствует критерию по быстродействию), $x_0 = (95, -10)^T$, $\mu = 1, l = 1, m = 2$ и различных значениях параметров r_k, q_k, h_k (Рис. 12, 13).

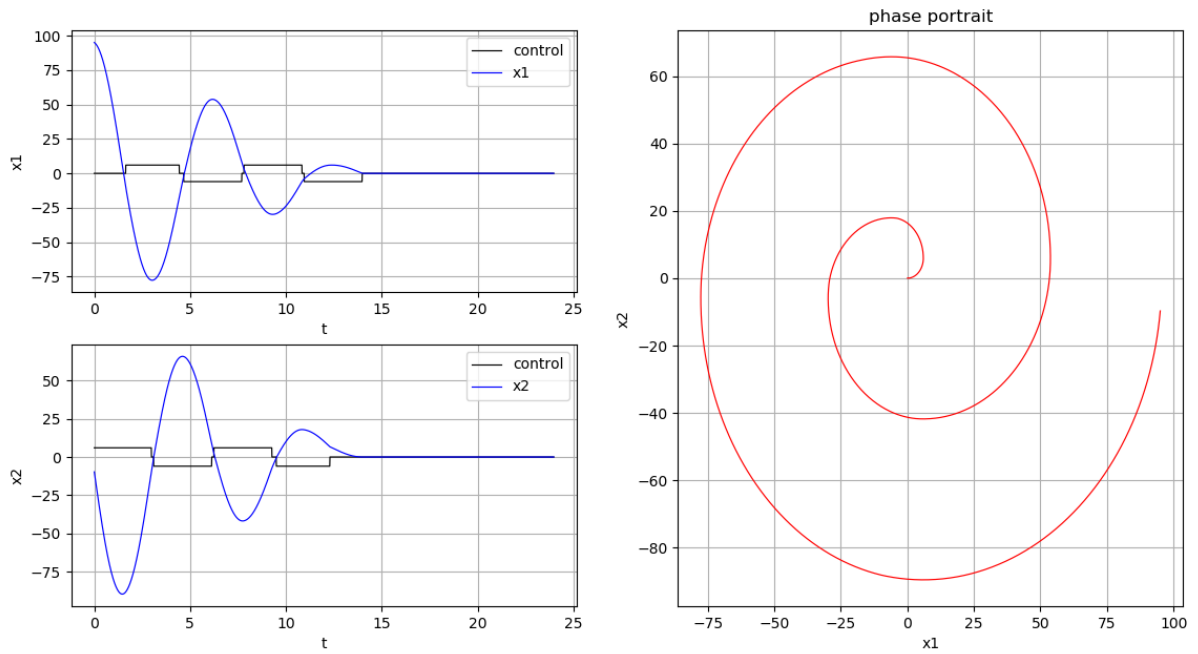


Рис. 12: $h_k = 6, r_k = q_k = 2, \forall k$

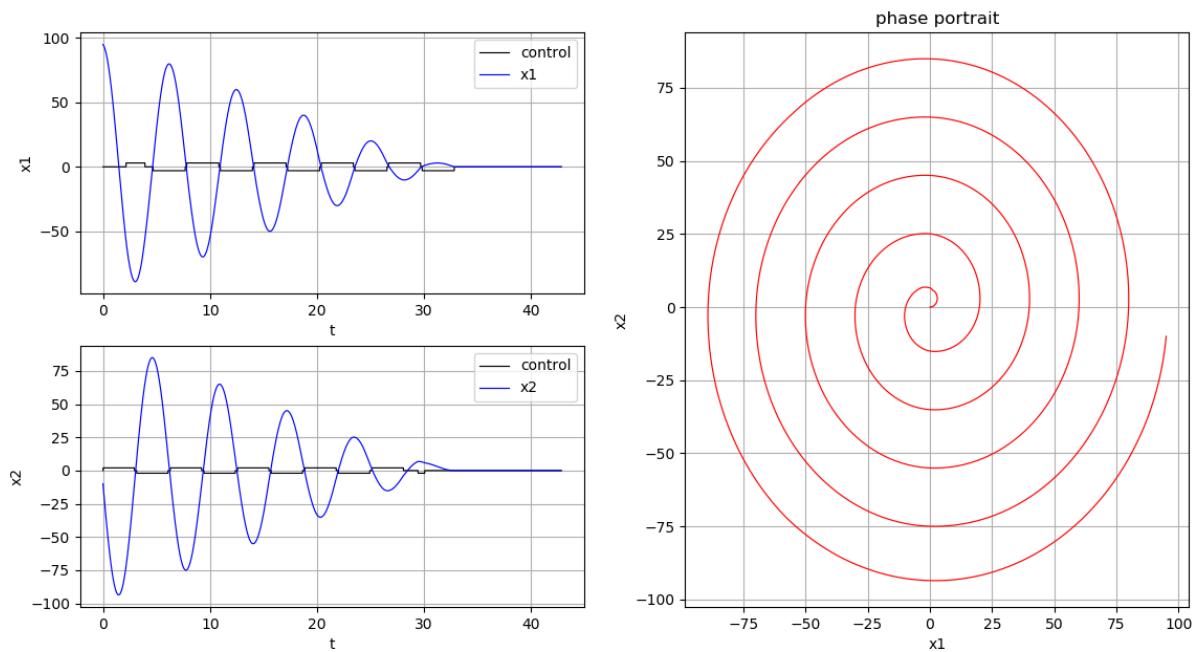


Рис. 13: $h_1 = 3, h_2 = 2, r_1 = q_1 = 5, r_2 = q_2 = 5$

На Рис. 11, 13 наиболее наглядно можно заметить отличие ширины первой ступени первого канала управления и последней ступени второго канала управления от остальных ширины ступеней, равных между собой и соответствующих данным каналам, что предусмотрено алгоритмом. Кроме того, на Рис. 7–9 видно, что в каждом из случаев по окончании действия

управления фазовые переменные обнуляются, а фазовые портреты соответствующих решений сходятся к нулю, что демонстрирует корректность работы алгоритма.

На Рис. 14, 15 показаны графики зависимости в отдельности каждой из частей смешанного функционала качества от параметра α . Для построения были приняты значения параметров: $x_0 = (95, -10)^T$, $\mu = 1$, $l = 1$, $m = 2$, $h_k = 6$, $r_k = q_k = 3$, $\forall k$.

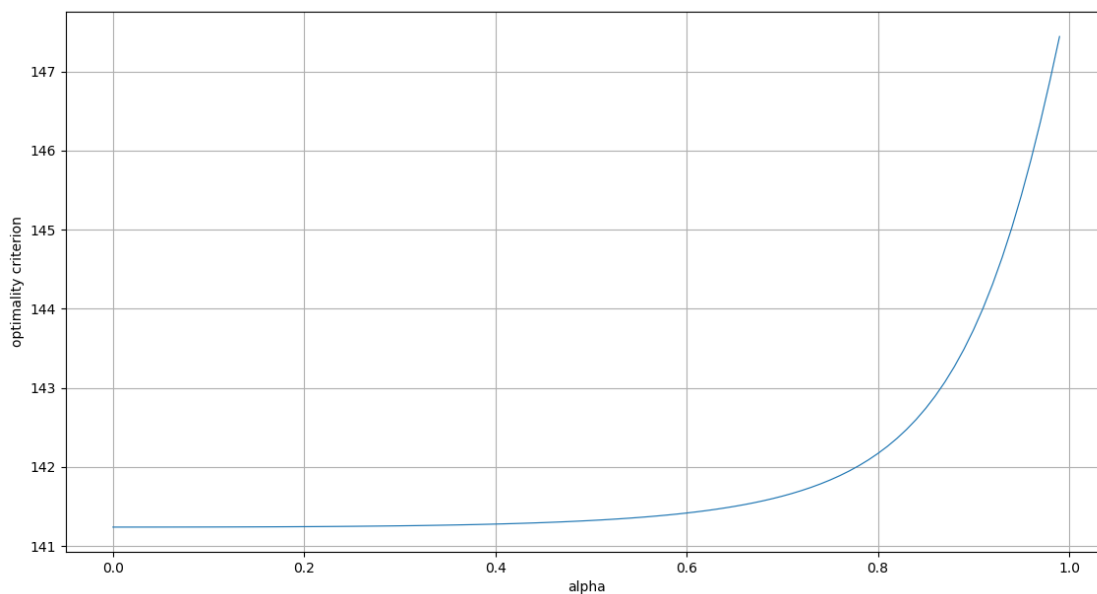


Рис. 14: Зависимость расхода топлива от параметра α

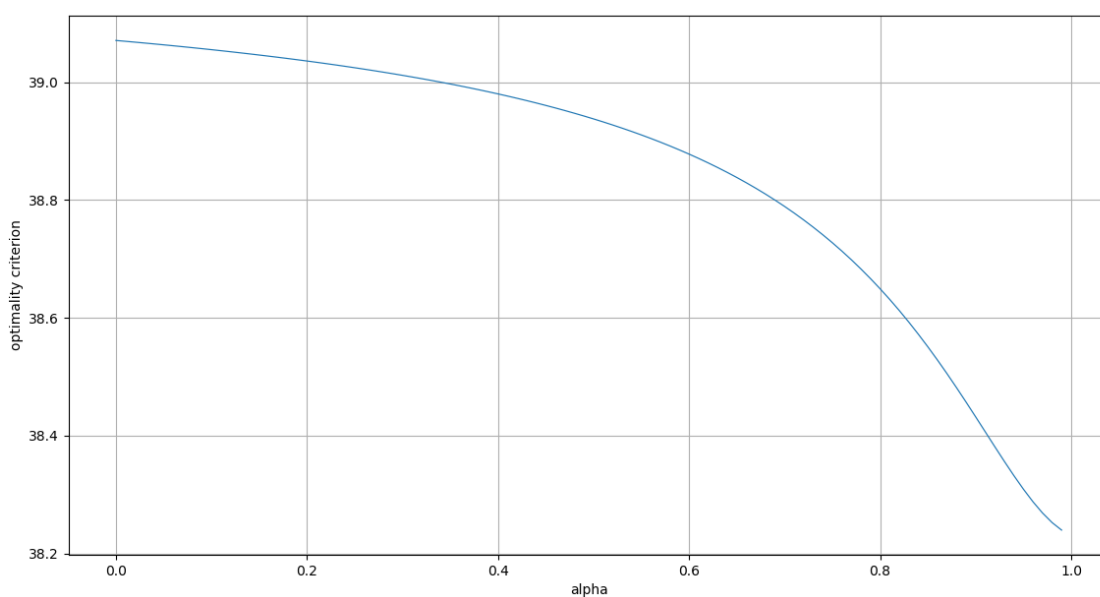


Рис. 15: Зависимость времени от параметра α

На графиках видно, что при увеличении α количество затраченного для стабилизации системы топлива увеличивается, тогда как продолжительность действия управления уменьшается. Логично, ведь при $\alpha = 0$ имеем критерий по расходу топлива, т. е. выполняется минимизация затрат ресурсов при неограниченном промежутке времени. И наоборот, при $\alpha = 1$ имеем критерий по быстродействию, т. е. необходимо стабилизировать систему в кратчайшие сроки при неограниченном объеме затраченного топлива.

При данных значениях параметров имеем: прирост количества топлива равен $|Q_{max} - Q_{min}| = 6.39559$, т. е. при максимальном возрастании α количество необходимого топлива возросло на $\approx 4,3\%$; прирост же затраченного времени равен $|T_{max} - T_{min}| = 0.85126$, т. е. при максимальном возрастании α величина затраченного времени снизилась на $\approx 2,2\%$. В соответствии с этим, можно сделать вывод, что **при изменении параметра α количество необходимого топлива изменяется быстрее, чем время, затраченное на гашение колебаний.**

Выводы

- Построение оптимального управления для задачи (5)–(9) с заданными значениями параметров $x_0, \mu, r_k, q_k, h_k, \alpha, l, m$ есть поиск точек переключения функции управления вида (8). Согласно построенному алгоритму, точки переключения ищутся с помощью формул (20), (21), (37)–(43). Используя их, в аналитическом виде можно построить оптимальное по смешанному критерию управление для исходной задачи при любых значениях параметров. В ходе построения алгоритма соблюдены граничные условия, а значит, фазовые переменные обратились в ноль к моменту времени T . Возвращаясь к постановке задачи, отметим, что фазовые переменные системы (5) есть проекции угловой скорости вращения КА около центра масс в связанной системе координат на соответствующие оси. Полученный результат говорит о том, что после отработки реактивных двигателей космическая станция перешла в режим стационарного вращения, что и являлось целью воздействия управления.
- Найденный алгоритм реализован на языке программирования Python (см. Приложение). В ходе реализации для некоторых значений параметров были получены графики (Рис. 7–13), иллюстрирующие результат воздействия управления на исходную систему и подтверждающие корректность работы описанного метода. Согласно этим графикам, под воздействием управления фазовые переменные обнуляются, а соответствующий фазовый портрет системы сходится к нулю.
- На основе многочисленных экспериментов произведен анализ процентного роста/спада величины расходуемого топлива и количества затраченного времени при изменении параметра α (Рис. 14, 15): при изменении параметра α количество необходимого топлива изменяется быстрее, чем время, затраченное на гашение колебаний.

Список литературы

- [1] Сю Д., Мейер А. Современная теория автоматического управления и ее применение. М.: Машиностроение, 1972. 544 с.
- [2] Athans M., Falb P. L. Optimal Control: An Introduction to the Theory and Its Applications. New York: Dover Publications, 2007. 896 p.
- [3] Lee E. B., Markus L. Foundations of optimal control theory. New York: Wiley, 1967. 576 p.
- [4] Афанасьев В.Н., Колмановский В.Б., Носов В.Р. Математическая теория конструирования систем управления. М.: Высшая школа, 2003. 615 с.
- [5] Понтрягин Л.С., Болтянский В.Г., Гамкредидзе Р.В., Мищенко Е.Ф. Математическая теория оптимальных процессов. М.: Наука, 1983. 393 с.
- [6] Бабаджанянц Л.К., Голубева Н.И., Новосёлов В.С. «Оптимальное демпфирование быстрых линейных колебаний стационарного ИСЗ с маховиком» // Пермь: Межвузовский сборник трудов «Проблемы механики управляемого движения», Вып. 3, 1973. С. 18–25.
- [7] Babadzanjanz L. K. , Pototskaya I. Yu., Pupysheva Yu. Yu. "Expenditure Optimization in a Problem of Controlled Motion of Mechanical Systems" // International Conference on Numerical Analysis and Applied Mathematics 2015, AIP Conference Proceedings, 2016. P. 1–4.
- [8] Бабаджанянц Л. К., Потоцкая И. Ю. Управление по критерию расхода в механических системах, Издательство СПбГУ, 2003. 137 с.
- [9] Alesova I. M., Babadzanjanz L. K., Pototskaya I. Yu., Pupysheva Yu. Yu., Saakyan A. T. Control of Mechanical Systems by the "Mixed Time and

- Expenditure" Criterion. // International Scientific Conference on mechanics "The Eighth Polyakhov's Reading", AIP Conference Proceedings, 2018. P. 1–4.
- [10] Новосёлов В. С., Королёв В. С. Аналитическая механика управляемой системы. Уч. пособие. СПб.: ООП НИИ Химии СПбГУ, 2002. 246 с.
- [11] Белецкий В. В. Движение спутника относительно центра масс. М.: Наука, 1965. 416 с.
- [12] Бухгольц Н. Н. Основной курс теоретической механики, часть первая. М.: Наука, 1965. 468 с.
- [13] Черноусько Ф. Л., Баничук Н. В. Вариационные задачи механики и управления. М.: Наука, 1973. 238 с.
- [14] Лутц М. Изучаем Python. СПб.: Символ-Плюс, 2011. 1280 с.
- [15] Brent R. P. An Algorithm with Guaranteed Convergence for Finding a Zero of a Function. // The Computer Journal, 1971. Vol. 14, No 4. P. 422–425.

Приложение

Ниже приведен программный код полученного алгоритма.

```
from numpy import arctan2, arcsin, cos, sin, pi, sign,
                 matrix, arange, array, exp, complex64
from numpy.linalg import eig
import numpy as np

def _find_first_midpoints_and_sigmas(mu, y0_1, C1, init_point):
    midpoint = list()
    sigma = list()

    for c_i in C1:
        t_i = mu ** (-1) * arctan2(
            y0_1.real * c_i.imag - y0_1.imag * c_i.real,
            y0_1.real * c_i.real + y0_1.imag * c_i.imag
        )
        m_i = 0
        step_i = sign(init_point - t_i) * pi / mu
        first_dot_interval = init_point, init_point + pi / mu

        while not first_dot_interval[0] <= t_i < first_dot_interval[1]:
            t_i += step_i
            m_i += 1
            midpoint.append(t_i)
            sigma.append((-1) ** m_i * sign(y0_1.real * c_i.imag -
                y0_1.imag * c_i.real))
    return midpoint, sigma

def _built_root_intervals(f, domain_edge, k_pos, k_neg, b_min, b_max):
    if not k_pos:
        max_edge = None
    else:
        max_edge = -b_max / k_pos if f(domain_edge) > 0 else -b_min / k_pos
        if max_edge < domain_edge:
            max_edge = None

    if not k_neg:
        min_edge = None
    else:
```

```

min_edge = -b_max / k_neg if f(-domain_edge) > 0 else -b_min / k_neg
if min_edge > -domain_edge:
    min_edge = None

root_intervals = list()
if min_edge is not None:
    root_intervals.append((min_edge, -domain_edge))
if max_edge is not None:
    root_intervals.append((domain_edge, max_edge))

return root_intervals

def _solve_lambda1_equation(mu, sigma, sigma_lm, h, r, q,
                           C1, y0_1, l, m, alpha):
    _sq_y0_1_real = y0_1.real**2
    _S = [h_i * (r_i + q_i - 1) for h_i, r_i, q_i in zip(h, r, q)]
    _a = [h_i * s_i * (r_i + q_i - 1) for h_i, s_i, r_i, q_i
          in zip(h, sigma, r, q)]
    _b = [abs(y0_1) ** 2 * abs(c_i) ** 2 for c_i in C1]
    _b_lm = [_b[1], _b[m]]
    _c = [(alpha - 1 - alpha/(2 * _S_i))**2 * _sq_y0_1_real for _S_i in _S]
    _h_lm = [h[1], h[m]]
    _d_lm = [(alpha/(2 * h_i) + 1 - alpha)**2 * _sq_y0_1_real for h_i in _h_lm]
    delta_lm = [1, -1]

def f(x):
    # This function build by lambda1 equation,
    #root of this function will be a solution.
    # Equation hasn't modules under radicals,
    #it's added considering computational error.
    # Rupture area will be excluded from intervals of root finding.
    return abs(y0_1)**2 * x + 2 / mu * (sum(
        _a_i * abs(x**2 * _b_i - _c_i)**(1/2) for _a_i, _b_i, _c_i
        in zip(_a, _b, _c)) + sum(
        _h_lm_i * delta_lm_i * s_lm_i *
        abs(x**2 * _b_lm_i - _d_lm_i)**(1/2)
        for _h_lm_i, delta_lm_i, s_lm_i, _b_lm_i, _d_lm_i
        in zip(_h_lm, delta_lm, sigma_lm, _b_lm, _d_lm)))

# Let's estimate values of the function by straight lines:

```

```

# for x > 0: k_pos*x + b_min <= f(x) <= k_pos*x + b_max
# for x < 0: k_neg*x + b_min <= f(x) <= k_neg*x + b_max
# So we can find roots enclosing intervals.
_sum_from_radicals = 2 / mu * (sum(
    _a_i * _b_i**(1/2)
    for _a_i, _b_i in zip(_a, _b)
) + sum(
    _h_lm_i * delta_lm_i * s_lm_i * _b_lm_i**(1/2)
    for _h_lm_i, delta_lm_i, s_lm_i, _b_lm_i
    in zip(_h_lm, delta_lm, sigma_lm, _b_lm)))

k_pos = abs(y0_1)**2 + _sum_from_radicals
k_neg = abs(y0_1)**2 - _sum_from_radicals

b_max = 2 / mu * abs(y0_1.real) * (
    sum(
        _a_i * abs(alpha - 1 - alpha/(2 * _S_i)) for _a_i, _S_i, s_i
        in zip(_a, _S, sigma) if s_i < 0
    ) + sum(
        _h_lm_i * (alpha/(2 * _h_lm_i) + 1 - alpha)
        for _h_lm_i, delta_lm_i, s_lm_i
        in zip(_h_lm, delta_lm, sigma_lm) if delta_lm_i * s_lm_i < 0))

b_min = - 2 / mu * abs(y0_1.real) * (
    sum(
        _a_i * abs(alpha - 1 - alpha/(2 * _S_i)) for _a_i, _S_i, s_i
        in zip(_a, _S, sigma) if s_i > 0
    ) + sum(
        _h_lm_i * (alpha/(2 * _h_lm_i) + 1 - alpha)
        for _h_lm_i, delta_lm_i, s_lm_i
        in zip(_h_lm, delta_lm, sigma_lm) if delta_lm_i * s_lm_i > 0))

# rupture area is (-domain_edge, domain_edge)
domain_edge = max(max(
abs(y0_1.real)*abs(alpha - 1 - alpha/(2*_S_i))/_b_i**(1/2)
    for _S_i, _b_i in zip(_S, _b) if abs(_b_i)),
    max(
abs(y0_1.real) * (alpha/(2 * _h_lm_i) + 1 - alpha) / _b_lm_i**(1/2)
    for _h_lm_i, _b_lm_i in zip(_h_lm, _b_lm) if abs(_b_lm_i)

```

```

root_intervals = _built_root_intervals(f, domain_edge, k_pos, k_neg,
                                       b_min, b_max)

if not root_intervals:
    raise Exception("Can't find lambda1 equation solution")

from scipy.optimize import brentq
lambda1 = min(
    (brentq(f, *root_interval) for root_interval in root_intervals),
    key=lambda x: abs(f(x)))

return lambda1

def create_control_intervals(mu, y0, C, h, r, q, init_point, l, m, alpha):
    y0_1 = y0[0, 0]
    C1 = C.tolist()[0]
    _S = [h_i * (r_i + q_i - 1) for h_i, r_i, q_i in zip(h, r, q)]

    midpoints, sigmas = _find_first_midpoints_and_sigmas(mu, y0_1, C1, init_point)
    sigma_lm = [sigmas[1], -sigmas[m]]
    lambda1 = _solve_lambda1_equation(mu, sigmas, sigma_lm, h, r, q,
                                      C1, y0_1, l, m, alpha)

    deltas = list()
    for i, c in enumerate(C1):
        deltas.append(1 / mu * arcsin(
            (lambda1**2 * abs(y0_1)**2 * abs(c)**2 -
             (-alpha/(2 * _S[i]) - 1 + alpha)**2 * y0_1.real**2)**(1/2) /
            (abs(lambda1) * abs(y0_1) * abs(c))))

    control_intervals = [
        [(m - d + i * pi / mu, m + d + i * pi / mu) for i in range(r_ + q_)]
        for m, d, r_, q_ in zip(midpoints, deltas, r, q)
    ]

    #finding very first and very last intervals
    delta_0 = 1/mu * arcsin(
        (lambda1**2 * abs(y0_1)**2 * abs(C1[1])**2 -
         (alpha/(2 * h[1]) + 1 - alpha)**2 * y0_1.real**2)**(1/2) /
        (abs(lambda1) * abs(y0_1) * abs(C1[1])))

```

```

delta_T = 1/mu * arcsin(
    (lambda1**2 * abs(y0_1)**2 * abs(C1[m])**2 -
    (alpha/(2 * h[m]) + 1 - alpha)**2 * y0_1.real**2)**(1/2) /
    (abs(lambda1) * abs(y0_1) * abs(C1[m])))
t_0 = midpoints[1]
t_T =midpoints[m] + (r[m] + q[m] - 1)*pi/mu

control_intervals[1][0] = t_0 - delta_0, t_0 + delta_0
control_intervals[m][-1] = t_T - delta_T, t_T + delta_T
return control_intervals

def create_control(mu, y0, C, h, r, q, init_point=0, control_intervals=None):
    if control_intervals is None:
        control_intervals = create_control_intervals(
            mu, y0, C, h, r, q, init_point)

    def u(t):
        res = list()
        for h_k, intervals_for_k in zip(h, control_intervals):
            for i, interval in enumerate(intervals_for_k):
                if interval[0] <= t <= interval[1]:
                    res.append((-1)**i * h_k )
                    break
            else:
                res.append(0)
        return matrix([res]).T

    return u

def count_fuel(h, control_intervals):
    return sum(h_k * sum(end - begin for begin, end in intervals_k)
               for h_k, intervals_k in zip(h, control_intervals))

def build_ode_solution(mu, y0, C, h, control_intervals):
    # 'Wasted_parts_expressions' for each of ode equation,
    # for each of control intervals component
    # collects values of spent stages integrals for number
    # of the unfinished stage
    # (Wasted_parts_expressions[ode_eq_num]
    # [c_interv_component_num][num_of_first_unfinished_stage]).

```



```

# Needs for removal repeated calculations.
wasted_parts_expressions = list()
for eq_num_in_ode in range(len(C)):
    list_for_ode_nums = list()
    for intervals_k in control_intervals:
        wasted_parts_before_this = [0j]
        for i, (t1, t2) in enumerate(intervals_k):
            _real = sin(mu * t2) - sin(mu * t1)
            _imag = (-1) ** eq_num_in_ode * (cos(mu * t2) - cos(mu * t1))
            stage_i = (-1) ** i * (_real + _imag * 1j) / mu

            previous_stages = wasted_parts_before_this[i]
            wasted_parts_before_this.append(previous_stages + stage_i)
            list_for_ode_nums.append(wasted_parts_before_this)
        wasted_parts_expressions.append(list_for_ode_nums)

# Returns value of integrals with control function in ode solution
def find_quad(t):
    result = list()
    for i, C_i in enumerate(C.tolist()):
        result_i = 0
        for k, (c_k, h_k, intervals_k) in enumerate(
            zip(C_i, h, control_intervals)):
            if t <= intervals_k[0][0]:
                result_i += 0
            elif t >= intervals_k[-1][1]:
                result_i += c_k * h_k * wasted_parts_expressions[i][k][-1]
            else:
                ind, next_interval = next((ind, (t1, t2))
                    for ind, (t1, t2) in enumerate(intervals_k) if t2 > t)
                t1 = next_interval[0]

                wasted_parts = wasted_parts_expressions[i][k][ind]
                incomplete_part = 0
                if t > t1:
                    _real = sin(mu * t) - sin(mu * t1)
                    _imag = (-1) ** i * (cos(mu * t) - cos(mu * t1))
                    incomplete_part = (-1)**ind/mu * (_real + _imag * 1j)

                result_i += c_k * h_k * (wasted_parts + incomplete_part)

```

```

        result.append([result_i])
    return np.matrix(result)

def ode_solution(t):
    return np.diag(exp(1j*mu * t * array([1, -1])))*(y0 + find_quad(t))

return ode_solution

if __name__ == '__main__':
    a = 1
    A = matrix([[0, a], [-a, 0]])
    mu, V = abs(eig(A)[0][0].imag), eig(A)[1]
    C = matrix([[1, -1j], [1, 1j]])

    l, m, alpha = 0, 1, 1

    def x_init(t):
        def init_ode_solution(t):
            return np.diag(exp(1j * mu * t * array([1, -1]))) * y0
        return C.I * init_ode_solution(t)

    h = [6, 6]
    r = q = [2, 2]
    x0 = matrix([[95, -10]]).T
    y0 = C * x0

    control_intervals = create_control_intervals(
        mu, y0, C, h, r, q, 0, l, m, alpha
    )
    sign_12 = sign(x_init(control_intervals[0][0][1])[0, 0].real),
                sign(x_init(control_intervals[1][0][1])[1, 0].real)
    h_ = [-sign_12[0] * h[0], -sign_12[1] * h[1]]
    u = create_control(mu,y0,C,h_,r, q,control_intervals=control_intervals)
    ode_solution = build_ode_solution(mu, y0, C, h_, control_intervals)

    from pylab import *
    def plot_graph():
        figure(1)
        gcf().canvas.set_window_title(u'solution of the system')
```

```

T = max(control_interval_k[-1][1] for control_interval_k
        in control_intervals)
t = arange(0.0, T + 10, 0.005)
t_ = arange(0.0, T + 10, 0.01)

data_u = list(zip(*(u(t_i).T.tolist()[0] for t_i in t)))

x = lambda t: C.I * ode_solution(t)
data_x = [{'real': list(), 'imag': list()},
          {'real': list(), 'imag': list()}]
for i in t_:
    x_i = x(i)
    data_x[0]['real'].append(x_i[0, 0].real)
    data_x[0]['imag'].append(x_i[0, 0].imag)
    data_x[1]['real'].append(x_i[1, 0].real)
    data_x[1]['imag'].append(x_i[1, 0].imag)

subplot(221)
xlabel(u't')
ylabel(u'x1')
control_line, solution_line = plot(t, data_u[0], 'k',
                                   t_, data_x[0]['real'], 'b', lw=0.85)
legend((control_line, solution_line), (u'control', u'x1'))
grid()

subplot(223)
xlabel(u't')
ylabel(u'x2')
control_line, solution_line = plot(t, data_u[1], 'k',
                                   t_, data_x[1]['real'], 'b', lw=0.85)
legend((control_line, solution_line), (u'control', u'x2'))
grid()

subplot(122)
xlabel(u'x1')
ylabel(u'x2')
title(u'phase portrait')
plot(data_x[0]['real'], data_x[1]['real'], 'r', lw=0.85)
grid()

```

```

def plot_init_graph():
    figure(2)
    gcf().canvas.set_window_title(u'solution of the init system')
    T = max(control_interval_k[-1][1] for control_interval_k
            in control_intervals)
    t_ = arange(0.0, T + 10, 0.01)

    data_x_init = [{'real': list(), 'imag': list()},
                   {'real': list(), 'imag': list()}]
    for i in t_:
        x_i = x_init(i)
        data_x_init[0]['real'].append(x_i[0, 0].real)
        data_x_init[0]['imag'].append(x_i[0, 0].imag)
        data_x_init[1]['real'].append(x_i[1, 0].real)
        data_x_init[1]['imag'].append(x_i[1, 0].imag)

    subplot(221)
    xlabel(u't')
    ylabel(u'x1')
    plot(t_, data_x_init[0]['real'], 'b', lw=0.85)
    grid()

    subplot(223)
    xlabel(u't')
    ylabel(u'x2')
    plot(t_, data_x_init[1]['real'], 'b', lw=0.85)
    grid()

    subplot(122)
    xlabel(u'x1')
    ylabel(u'x2')
    title(u'phase portrait')
    plot(data_x_init[0]['real'], data_x_init[1]['real'], 'r', lw=0.85)
    grid()

def plot_criterion():
    figure(3)
    gcf().canvas.set_window_title(u'optimality criterion')
    fuel_ = list()
    time_ = list()

```

```

for alpha_ in arange(0, 0.9, 0.001):
    print(alpha_)
    control_intervals = create_control_intervals(
        mu, y0, C, h, r, q, 0, l, m, alpha_
    )
    fuel_.append(count_fuel(h, control_intervals))
    control_intervals = create_control_intervals(
        mu, y0, C, h, r, q, 0, l, m, 1-alpha_
    )
    time_.append(max(control_interval_k[-1][1] for control_interval_k
        in control_intervals) -
        min(control_interval_k[0][0] for control_interval_k
        in control_intervals))
_alpha = arange(0, 0.9, 0.001)

subplot(121)
xlabel(u'alpha')
ylabel(u'fuel')
title(u'fuel of alpha')
plot(_alpha, fuel_, lw=0.85)
grid()

subplot(122)
xlabel(u'alpha')
ylabel(u'time')
title(u'time of alpha')
plot(_alpha, time_, lw=0.85)
grid()

plot_criterion()
plot_init_graph()
plot_graph()
show()

```